

# Reglerteknik D3

(Kurs nr ERE 100)

## Tentamen 020822

Tid: 8:45-12:45,

Lokal: M-huset

Lärare: Stefan Pettersson, tel 5146

Tentamen omfattar 25 poäng, där betyg tre fordrar 10 poäng, betyg fyra 15 poäng och betyg fem 20 poäng.

*Tentamenresultat* anslås senast den 5 september på avdelningens anslagstavla samt kursens hemsida.

*Granskning* av rättning sker den 5 och 6 september kl 12:30-13:00 på avdelningen.

*Tillåtna hjälpmedel:*

- Formelsamling i reglerteknik (gammal och ny)
- Bode diagram
- Matematiska och fysikaliska tabeller, t ex Beta och Physics handbook
- Valfri kalkylator (dock ej lösa anteckningar)

Lycka till!

Avdelningen för reglerteknik och automation  
Institutionen för signaler och system  
Chalmers tekniska högskola



## 1

Komplementära känslighetsfunktionen  $T(s)$  för ett system ges av

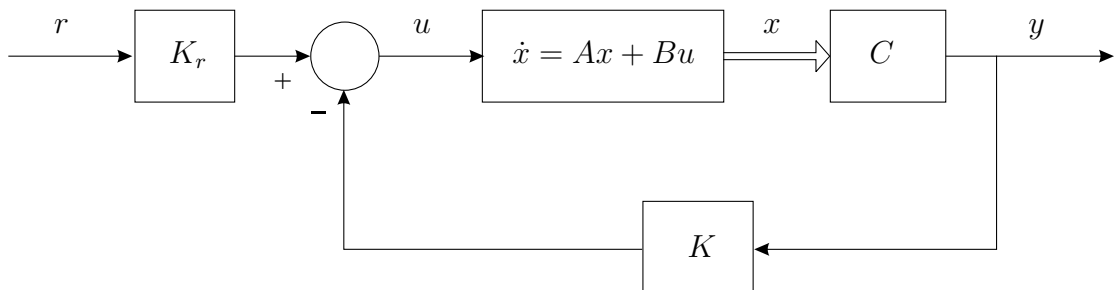
$$T(s) = \frac{100}{s^2 + 13s + 100}$$

- Bestäm systemets kretsöverföring  $L(s)$ .  
(2p)
- Bestäm bandbredden hos  $T(s)$ .  
(2p)
- Låt kretsöverföringen vara produkten av regulatorns och processens överföringsfunktioner. Vad blir den komplementära känslighetsfunktionen om förstärkningen i regulatorn dubblas (allt annat oförändrat)?  
(1p)

## 2

Betrakta följande återkopplade system, där

$$A = \begin{bmatrix} 0 & 1 \\ -1 & -1 \end{bmatrix}, \quad B = \begin{bmatrix} 0 \\ 2 \end{bmatrix}, \quad C = \begin{bmatrix} 1 & 0 \end{bmatrix}$$

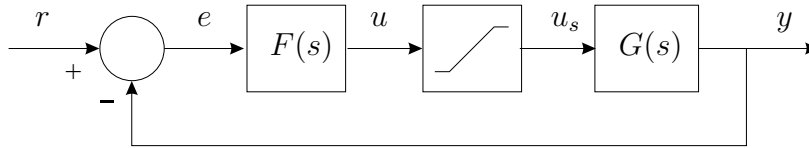


- För vilka värden på  $K$  är systemet stabilt  
(3p)
- Låt  $r(t)$  vara ett enhetssteg. Bestäm  $K_r$  så att  $\lim_{t \rightarrow \infty} y(t) = 1$  under antagandet att  $K$  stabiliserar systemet.  
(2p)

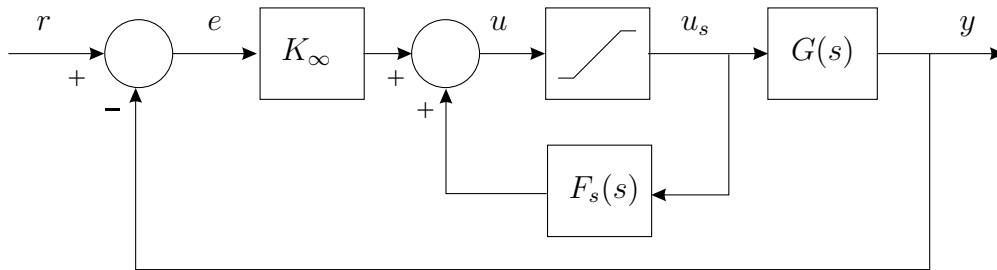
### 3

I praktiska reglersystem begränsas normalt den styrsignal som generas till processen via en begränsningsfunktion. Den begränsade styrsignalen  $u_s(t)$  (s=saturation) kan då uttryckas som

$$u_s = \begin{cases} u_{max} & u > u_{max} \\ u & u_{min} \leq u \leq u_{max} \\ u_{min} & u < u_{min} \end{cases}$$



Då styrsignalen hamnar i begränsningsläget upphör återkopplingen temporärt att fungera, eftersom styrsignalen till processen  $u_s(t)$  då är konstant (lika med  $u_{min}$  eller  $u_{max}$ ). Detta leder till problem då regulatorn i sig är instabil, vilket gäller exempelvis i det vanligt förekommande fallet att regulatorn  $F(s)$  är en PI-regulator. Ett sätt att råda bot på detta problem visas i följande blockschema, där den begränsade styrsignalen  $u_s$  återkopplas via positiv återkoppling.



Denna realisering ger ett väl fungerande system då överföringsfunktionen  $F_s(s)$  är *stabil* och konstanten  $K_\infty$  väljs lika med regulatorns högfrekvensförstärkning, d.v.s.  $K_\infty = F(\infty)$ .

- a) Bestäm  $F_s(s)$  då

$$F(s) = 3 \frac{s + 0.5}{s}$$

så att reglersystemen i de båda ovanstående figurerna får samma beteende så länge som styrsignalen  $u$  håller sig innanför begränsningarna  $u_{min}$  och  $u_{max}$  (med andra ord bortse från begränsningsfunktionen).

(3p)

- b) Antag att  $u_{max} = 10$  och att referenssignalen  $r(t)$  varierar så att reglerfelet  $e$  hamnar på en konstant nivå  $e = 5$ . Ange för de båda regulatorstrukturerna det asymptotiska beteendet hos signalen  $u(t)$  för stora värden på  $t$  efter att inledande transienter har klingat av. I det första fallet bortses från eventuella konstanta bidrag hos  $u(t)$ . Kommentera skillnaden i beteende mellan de båda reglerfunktionerna.

(2p)

4

Betrakta en process vars dynamik ges av överföringsfunktionen

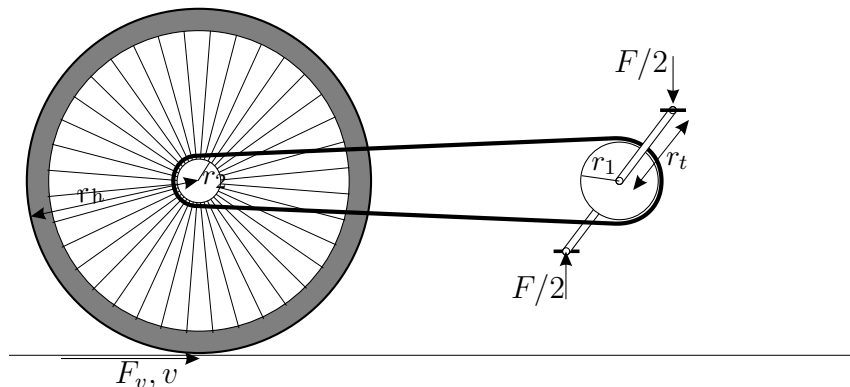
$$G(s) = \frac{3}{(1 + 20s)^3}$$

- a) Dimensionera en PI-regulator för denna process så att fasmarginalen  $\varphi_m = 50^\circ$ .  
Välj en överkorsningsfrekvens  $\omega_c = 0.3\omega_{\pi_{proc}}$ . (3p)

- b) Vad blir regulatorns integralförstärkning  $K_i$  och högfrekvensförstärkning  $K_\infty$ ?  
Vilken inverkan har värdet på dessa regulatorparametrar när det gäller förmågan att kompensera processtörningar och känsligheten för mätstörningar? (2p)

5

Betrakta bakhjul och nav med trampor för en cykel i figuren nedan, där kraften på vardera trampa är  $F/2$  och trampaxels längd är  $r_t$ . Låt radien på trampnavet och bakhjulsnavet vara  $r_1$  respektive  $r_2$ , och bakhjulets radie vara  $r_h$ . Beteckna cykelns massa med  $m$  och personen som cyklar med  $M$ . Låt tröghetsmomentet hos bakhjul med nav vara  $J$ . Antag att den enda belastande kraften i cykelns framriktning är proportionell mot kvadraten på hastigheten med proportionalitetskonstant  $b$ , samt att tröghetsmomentet hos trampnavet kan försummas. Bortse från all friktion.



- a) Ställ upp en modell som beskriver sambandet mellan den på tramporna pålagda kraften  $F$  och hastigheten  $v$  på cykeln.

Ledning: Ställ dels upp momentbalansen kring bakhjulets rotationscentrum och dels kraftbalansen för cykeln i dess framriktning.

(3p)

- b) Linjärisera modellen kring arbetspunkten  $v = v_0$  då trampaxlarna står i horisontellt läge.

(2p)

① a)  $T = \frac{L}{1+L} \Rightarrow T+TL=L \Rightarrow L = \frac{T}{1-T} = \frac{100}{1 - \frac{100}{s^2+13s+100}} = \frac{100}{\frac{s^2+13s+100-100}{s^2+13s+100}} = \frac{100}{s(s+13)}$

b)  $|T(j\omega_b)| = \frac{100}{\sqrt{(100-\omega_b^2)^2 - 13^2\omega_b^2}} = \frac{1}{\sqrt{2}} \Rightarrow 100^2 \cdot 2 = \omega_b^4 - 200\omega_b^2 + 100^2 + 13^2\omega_b^2$   
 $\omega_b^4 - (200-13^2)\omega_b^2 - 100^2 = 0 \Rightarrow \omega_b = \sqrt{\frac{200-13^2}{2} \pm \sqrt{\left(\frac{200-13^2}{2}\right)^2 + 100^2}} = 10,8$

c)  $T = \frac{2L}{1+2L} = \frac{200}{s^2+13s+200}$

② a)  $G(s) = C(sI-A)^{-1}B = [1 \ 0] \begin{bmatrix} s & -1 \\ 1 & s+1 \end{bmatrix}^{-1} \begin{bmatrix} 0 \\ 2 \end{bmatrix} = \frac{1}{s(s+1)+1} [1 \ 0] \begin{bmatrix} s+1 & 1 \\ -1 & s \end{bmatrix} \begin{bmatrix} 0 \\ 2 \end{bmatrix}$   
 $= \frac{1}{s^2+s+1} [s+1 \ 1] \begin{bmatrix} 0 \\ 2 \end{bmatrix} = \frac{2}{s^2+s+1}$

Korr. ekr.  $1 + KG(s) = 0 \Rightarrow 1 + \frac{2K}{s^2+s+1} = 0 \Rightarrow s^2+s+1+2K=0$

Stab. om  $1+2K > 0$  dvs  $K > -1/2$

b)  $\frac{Y(s)}{R(s)} = K_r \cdot \frac{G(s)}{1+KG(s)} = K_r \cdot \frac{2}{1 + \frac{2K}{s^2+s+1}} = \frac{2K_r}{s^2+s+1+2K}$

$\lim_{t \rightarrow \infty} y(t) \stackrel{\text{stab}}{=} \lim_{s \rightarrow 0} s \cdot Y(s) = \lim_{s \rightarrow 0} s \cdot \frac{2K_r}{s^2+s+1+2K} \cdot \frac{1}{s} = \frac{2K_r}{1+2K} = 1$

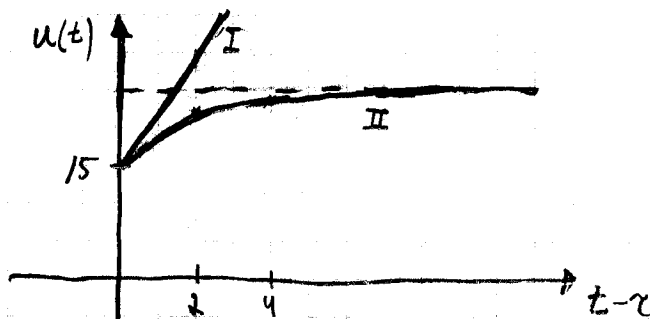
$K_r = \frac{1+2K}{2}$

③ a)  $F(s) = K_D \cdot \frac{1}{1-F(s)} \Rightarrow F(s) = 1 - K_D \cdot \frac{1}{F(s)} = 1 - 3 \cdot \frac{1}{3 \cdot \frac{s+0,5}{s}} = \frac{0,5}{s+0,5}$

b) Fall I)  $e = s\theta(t-\tau) \Rightarrow U(s) = \frac{s}{s} \cdot 3 \cdot \frac{s+0,5}{s} = \frac{15}{s} + \frac{7,5}{s^2} \Rightarrow u(t) = (15+7,5t)\theta(t-\tau)$

Fall II)  $u_s = 10 \Rightarrow U(s) = \frac{6 \cdot 3}{s} + \frac{10}{s} \cdot \frac{0,5}{s+0,5} = \frac{15}{s} + \frac{10}{s} - \frac{10}{s+0,5}$

$\Rightarrow u(t) = (25 - 10e^{-0,5(t-\tau)})\theta(t-\tau) \rightarrow 25\theta(t-\tau)$



I fall I integreras styrsignalen upp, medan stursignalen är begränsad i fall II. Om  $r(t)$  åtgör till, såg 0, så bör det lång tid att integrera bort felet i fall I.

④ a)  $\angle G(j\omega) = -3 \arctan 2\omega T = -180^\circ \Rightarrow \omega_T = \frac{1}{20} \tan 60^\circ = \frac{\sqrt{3}}{20} \Rightarrow \omega_c = \frac{0,3\sqrt{3}}{20} = \frac{3\sqrt{3}}{200}$

$F(s) = \frac{K}{s} (1+Ts)$ ,  $\angle F(j\omega) = -90^\circ + \arctan \omega_c T$ ,  $|F(j\omega)| = \frac{K}{\omega_c} \sqrt{1+(\omega_c T)^2}$

$\varphi_m = 180^\circ + \angle L(j\omega) = 180^\circ + \angle F(j\omega) + \angle G(j\omega) = 180^\circ - 90^\circ + \arctan \omega_c T + \angle G(j\omega)$

$\Rightarrow T = \frac{1}{\omega_c} \tan (\varphi_m - 90^\circ + 3 \arctan 2\omega_c) = \boxed{35,1}$

$|L(j\omega)| = |F(j\omega)| |G(j\omega)| = \frac{K}{\omega_c} \sqrt{1+(\omega_c T)^2} |G(j\omega)| = 1$

$\Rightarrow K = \frac{\omega_c}{\sqrt{1 + \tan^2(\varphi_m - 90^\circ + 3 \arctan 2\omega_c)}} \cdot \frac{(1+(20\omega_c)^2)^{3/2}}{3} = \boxed{0,0092}$

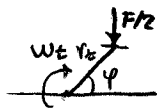
b)  $K_i = K = \boxed{0,0092}$ ,  $K_{\infty} = K \cdot T = \boxed{0,32}$

Lågfrekventa processstörningar kompenseras snabbare ju högre  $K_i$  känsligheten för mätstörningar ökar med högre  $K_{\infty}$ .

⑤ a)  $J \dot{\omega}_h = T_h - F_v \cdot r_h$ ,  $v = \omega_h \cdot r_h \Rightarrow J \frac{\dot{v}}{r_h} = T_h - F_v$

$(M+m) \dot{v} = F_v - b v^2 \Rightarrow (M+m) \dot{v} = \frac{T_h}{r_h} - J \frac{\dot{v}}{r_h} - b v^2$

$(\frac{J}{r_h} + M+m) \dot{v} = \frac{T_h}{r_h} - b v^2$



$P = T \cdot \omega$  konstant  $\Rightarrow T_h \cdot \omega_h = 2 \cdot \frac{F}{2} \cos \varphi \cdot r_2 \cdot \omega_2 \Rightarrow T_h = F \cos \varphi \cdot r_2 \frac{\omega_2}{\omega_h}$

Vredja konstant  $\Rightarrow \omega_h \cdot r_2 = \omega_2 \cdot r_1 \Rightarrow \frac{\omega_2}{\omega_h} = \frac{r_2}{r_1}$

$\Rightarrow T_h = F \cos \varphi \cdot r_2 \frac{r_2}{r_1}$

$(\frac{J}{r_h} + M+m) \dot{v} = \frac{r_2}{r_h} \cdot \frac{r_2}{r_1} F \cos \varphi - b v^2$

$\dot{v} = \frac{1}{(\frac{J}{r_h} + M+m)} \left( \frac{r_2}{r_h} \cdot \frac{r_2}{r_1} F \cos \varphi - b v^2 \right) = f(v, F, \varphi)$

b)  $\frac{df}{dv} \Big|_{v=v_0} = \frac{-2bv_0}{(J/r_h + M+m)}$ ,  $\frac{df}{d\varphi} \Big|_{\varphi=0} = 0$ ,  $\frac{r_2}{r_h} \cdot \frac{r_2}{r_1} F_0 \cos \varphi_0 = b v_0^2$

$\Delta \dot{v} = \frac{1}{(\frac{J}{r_h} + M+m)} \left( \frac{r_2}{r_h} \cdot \frac{r_2}{r_1} \Delta F - 2bv_0 \Delta v \right)$  där  $\Delta F = F - F_0$   
 $\Delta v = v - v_0$   
 $F_0 = \frac{r_h}{r_2} \cdot \frac{r_1}{r_2} b v_0^2$